

"波の強制力 其の他 12) に対する 覚書"

防衛大学校
別戸正利

昭和 39 年 8 月 18 日

内容

1. 序 言	1
2. ブリッジ画数	2
3. 波なし分布	4
4. 一様流れのない場合(2次元)	7
5. 物体に働く周期的力(2次元)	10
6. 一様流れのある場合(3次元)	13
7. 結 言	16

参考文献
四葉

17
18

1. 序言

現在波浪中の諸問題は荒岡の豊富な理論、丸尾の円熟した考察等によつて理論的にはかなり完成してゐるに拘らす、理論が難解であり、数值計算が複雑である又其のまゝの形が物理的に親密な諸量にはまりと結びつけられていない(参考)。实用上はフルートツリップ理論は2次元的計算の諸結果理論的成果を参照してストリップ法を用ひてゐる所である。^{参考}

従つて今後の発展の爲には此等の理論相互間の関係をはつきり認識すると云う事が重要な問題であると考えられる。

特に荒岡の理論はすべて線型的に構成されてゐるので他の理論との比較に当つてはかなりの困難を感じる。

例えば"丸尾によれば"振動しつゝ運動する水な物体に働く力 F_i はベルヌーイの定理

$$\rho = \rho \frac{\partial \varphi}{\partial t} - \frac{1}{2} g^2, \quad \dots \quad (1.1)$$

ここで

$$F_i = \rho \iint_S \frac{\partial \varphi}{\partial t} \frac{\partial x_i}{\partial n} ds - \frac{1}{2} \iint_S g^2 \frac{\partial x_i}{\partial n} ds, \quad \dots \quad (1.2)$$

但し $i=1, 2, 3$ で $x_1=x$, $x_2=y$, $x_3=z$ とする。

であつて、此の右辺第2項はラグリ一の公式で与えられ得て基準運動部分を含まない⁶⁾から F_i の基準運動部分 \tilde{F}_i は

$$\tilde{F}_i = \rho \iint_S \frac{\partial \varphi}{\partial t} \frac{\partial x_i}{\partial n} ds, \quad \dots \quad (1.3)$$

であると云う。

一方荒岡によれば" φ を擾乱のポテンシャルとして

$$\rho = \rho \frac{\partial \varphi}{\partial t} + \rho V \frac{\partial \varphi}{\partial x}, \quad \dots \quad (1.4)$$

であるから

$$\tilde{F}_i = \rho \iint_S \left(\frac{\partial \varphi}{\partial t} + V \frac{\partial \varphi}{\partial x} \right) \frac{\partial x_i}{\partial n} ds, \quad \dots \quad (1.5)$$

であると云う。

此の形は明らかに (1.3) と異なる

然しあら花園の境界条件。¹⁾

$$\frac{\partial \bar{\varphi}_i}{\partial n} = \left. \frac{\partial \bar{\varphi}_i}{\partial y} \right|_{y=0} = \left(-i\omega + V \frac{\partial}{\partial x} \right) \frac{\partial \bar{x}_i}{\partial n}, \quad \dots \quad (1.6)$$

但し φ_i は

$$\frac{\partial \varphi_i}{\partial n} = \frac{\partial \bar{\varphi}_i}{\partial n} = - \frac{\partial \bar{x}_i}{\partial n}, \quad \dots \quad (1.7)$$

のすなはち境界条件を持つ函数とし、上極棒は今後
複素速度を意味するものとする。

又 φ は $e^{i\omega t}$ に比例するものとする。

(1.6) を使って (1.5) を $y=0$ の面上で部分積分すると、
形式的 (1.3) に移行する事が證明出来る。

或ひは又、後述の花園の力学定理 (6.6) を用いれば
(1.5) 左辺の 2 項は (1.7) を使って

$$\iint_D \frac{\partial \varphi}{\partial x} \frac{\partial \bar{x}_i}{\partial n} ds = - \iint_D \frac{\partial \varphi}{\partial x} \frac{\partial \bar{\varphi}_i^*}{\partial n} ds = - \iint_D \varphi_i^* \frac{\partial}{\partial n} \left(\frac{\partial \varphi}{\partial x} \right) ds, \quad \dots \quad (1.8)$$

此處 φ_i^* は $\bar{\varphi}_i$ の逆 ポテンシャル である。

であるから、これは 2 次の項であつて総型理論の觀点から
考えれば当然省略すべき項となる。

此の点にて総型的立場に立って言えは、花園理論
における (1.5), (1.6) 両式は (1.3), (1.7) 式と等価で
ある事になるが、(1.6) の境界条件よりは (1.7) の方が
直観的で理解しやす.. しかし、又 2 次元問題の
他の分野では (1.3), (1.7) 式の記述になつてゐる所以
である。

さて此の覺書の目的はほの強制力等に對する Haakind
花園の公式の説明であるが、順序として速度ポテンシャル
等の 2 次元の境界値問題等についても考察する。

2. Green 画数

先ず x の正の方向に單位速度の流れがあるものとし
て軸を上方にとり、速度ポテンシャルを

$$\varphi'(x, y, z, t) = \operatorname{Re} [i\omega a e^{i\omega t} \varphi(x, y, z)], \quad \dots \quad (2.1)$$

とおく。但し t は時間, ω は円周波数, a は振動の振幅とする。
水面 $z=0$ では

$$L[\varphi] = 0, \quad z=0. \quad \dots \quad (2.2)$$

但し $L = \lim_{\mu \rightarrow +0} [(i\omega + \frac{\partial}{\partial x} + \mu)^2 + g \frac{\partial}{\partial z}], \quad \dots \quad (2.3)$

g は重力の常数とする。

此の条件を満足し且つ点 $Q = (x', y', z')$ は $\frac{1}{r}$ の軌道特性を持つ函数は^{1) 3)}

$$G(P, Q) = \frac{1}{r_1} - \frac{1}{r_2} - \frac{g}{\pi} \lim_{\mu \rightarrow +0} \int_{-\pi}^{\pi} \int_{-\infty}^{\infty} \frac{K e^{iK(z+z')} + iK(\tilde{w} - \tilde{\omega})}{(K \cos \theta + \omega - \mu)^2 - gK} d\theta dz, \quad \dots \quad (2.4)$$

但し $P = (x, y, z)$, $Q = (x', y', z')$, $r_1 = \overline{PQ}$, $r_2 = \overline{PQ}$, $\overline{Q} = (x', y', -z')$
 $\tilde{w} = x \cos \theta + y \sin \theta$, $\tilde{\omega} = x' \cos \theta + y' \sin \theta$.

即ち $L_p G(P, Q) = 0$, for $z=0$, $\dots \quad (2.5)$.

一方 $L^* = \lim_{\mu \rightarrow +0} [(i\omega + \mu - \frac{\partial}{\partial x})^2 + g \frac{\partial}{\partial z}], \quad \dots \quad (2.6)$

を導入すると

$$L_Q^* G(P, Q) = 0, \quad \text{for } z'=0, \quad \dots \quad (2.7)$$

が容易に判る。

(2.7) の条件は先回の reverse flow potential⁵⁾ の
水面条件であるから, * EP はこれを書かず事とする。

$$G(Q, P) = G^*(P, Q), \quad \dots \quad (2.8)$$

の様に書ける。

即ち一般のグリーン函数は $G(P, Q) = G(Q, P)$ なる対称性
を持つとするが我々の場合は此の (2.8) 式を持つてゐるだけである。

特に一様流れのない場合は。

$$L = L^* = \left[(i\omega + \mu)^2 + g \frac{\partial}{\partial z} \right], \quad G(P, Q) = G(Q, P), \quad \dots \quad (2.9)$$

である。

さて

$$\iint \left\{ \varphi(Q) \frac{\partial}{\partial n} G(P, Q) - G(P, Q) \frac{\partial \varphi(Q)}{\partial n} \right\} dS$$

ある面積分を、P点の周り及び物体の表面、水面、無限遠方の内側面、底面に分離すると零になる筈である。

此の内 Pの周りの積分は $4\pi \varphi(P)$ 、底面の積分は零、内側面の積分は φ と G が共に発散波を持つと考えられるので零、水面上の積分は

$$-\iint_{z=0} \left\{ \varphi(Q) \frac{\partial}{\partial z} G(P, Q) - G(P, Q) \frac{\partial \varphi(Q)}{\partial z} \right\} dx dy.$$

であるから (2.2), (2.7) を代入して部分積分し、 φ が無限遠で零と ~~発散波~~ 発散波を持つとすれば“先張零”となる。

従つて、

$$\varphi(P) = \frac{1}{4\pi} \iint_S \left\{ \frac{\partial \varphi}{\partial n} G(P, Q) - \varphi \frac{\partial}{\partial n} G(P, Q) \right\} dS_Q, \quad \dots (2.10)$$

かえらる。

$$\text{又 } H(K, \theta) = \frac{1}{4\pi} \iint_S \left(\frac{\partial \varphi}{\partial n} - \varphi \frac{\partial}{\partial n} \right) e^{kz - ik\omega} dS, \quad \dots (2.11)$$

ある函数を定義すると (2.1), (2.4) を従つて (2.10) から

$$\varphi(P) = \frac{1}{4\pi} \iint_S \left(\frac{\partial \varphi}{\partial n} - \varphi \frac{\partial}{\partial n} \right) \frac{1}{r_1} dS - \frac{1}{\pi} \int_0^\infty \int_0^\infty \frac{(K\cos\theta + \omega - \mu_i)^2 + jK}{(K\cos\theta + \omega - \mu_i)^2 - jK} H(Ks) e^{ks + jk\omega} dk ds, \quad \dots (2.12)$$

なる表示式もえられる。¹⁾

3. 波なし分布

φ は (2.10) 以外には 波なし分布と適当な波源の組合せて表わす事が出来る。^{10) 13)}

そこで一般の波なし分布について考えて見よう。

さて (2.2) は 実部共に満足しなければならないから其の実部については

$$LL^* \text{ or } L\bar{L} = \left\{ \left(i\omega + \frac{\partial}{\partial x} \right)^2 + j \frac{\partial}{\partial z} \right\} \left\{ \left(-i\omega + \frac{\partial}{\partial x} \right)^2 + j \frac{\partial}{\partial z} \right\}, \quad \dots (3.1)$$

ある定義によつて 水面上で零にならなければならぬ。

尚此處で“はまらない”のを考えるから μ を考える事は必要がないので以下 とつた式を扱う。

ここで更に

$$\begin{aligned}\tilde{\mathcal{L}} &= \left[\left(i\omega + \frac{\partial}{\partial x} \right)^2 - g \frac{\partial}{\partial z} \right], \\ \tilde{\mathcal{L}}^* &= \left[\left(-i\omega + \frac{\partial}{\partial x} \right)^2 - g \frac{\partial}{\partial \bar{z}} \right],\end{aligned}\quad \left. \right\} \quad \dots \quad (3.2)$$

なる隨伴演算子を導入し.

$$\varphi = \mathcal{L} \tilde{\mathcal{L}}^* f, \quad \dots \quad (3.3)$$

な函数 f を考えると

$$\begin{aligned}\mathcal{L} \varphi &= \mathcal{L} \mathcal{L} \tilde{\mathcal{L}}^* f = \\ &= \left[\left(\frac{\partial^2}{\partial x^2} + \omega^2 \right)^4 - 2g^2 \left(\frac{\partial^4}{\partial x^4} - 6\omega^2 \frac{\partial^2}{\partial x^2} + \omega^4 \right) + g^4 \frac{\partial^4}{\partial z^4} \right] f,\end{aligned}\quad \dots \quad (3.4)$$

であるから \overbrace{f} が水面 $(z=0)$ に対して上下対称でありますれば、水面条件を満足し、然も波がないオーテニシヤル φ を (3.3) 式によつて求める事は容易に出来る。¹⁵⁾

例えば f として.

$$\begin{aligned}&\left(\frac{\partial}{\partial z} \right)^k \left(\frac{\partial}{\partial x} \right)^m \left(\frac{\partial}{\partial y} \right)^n \left(\frac{1}{r_1} - \frac{1}{r_2} \right), \\ &\left(\frac{\partial}{\partial z} \right)^{2m} \left(\frac{\partial}{\partial x} \right)^m \left(\frac{\partial}{\partial y} \right)^n \left(\frac{1}{\sqrt{x^2 + y^2 + z^2}} \right),\end{aligned}\quad \left. \right\} \quad \dots \quad (3.5)$$

とすれば (3.3) の演算子はよつて波がないオーテニシヤルが求められる。特に泡の場合には至極簡単である。

1) $\omega = 0$ の場合¹⁵⁾ は.

$$\begin{aligned}\mathcal{L} &= \frac{\partial^2}{\partial x^2} + g \frac{\partial}{\partial z} = \mathcal{L}, \quad \mathcal{L}^* = \tilde{\mathcal{L}}^* = \frac{\partial^2}{\partial x^2} - g \frac{\partial}{\partial z}, \\ \mathcal{L} \tilde{\mathcal{L}}^* &= \frac{\partial^4}{\partial x^4} - g^2 \frac{\partial^2}{\partial z^2},\end{aligned}\quad \left. \right\} \quad \dots \quad (3.6)$$

特に 2 次元では $\frac{\partial^2}{\partial x^2} = -\frac{\partial^2}{\partial z^2}$ となる。

$$\mathcal{L} \tilde{\mathcal{L}}^* = \frac{\partial^2}{\partial x^2} \left(\frac{\partial^2}{\partial x^2} + g^2 \right), \quad \dots \quad (3.7)$$

となるから 例えば

$$f_n = \frac{\sin n\theta}{pn}, \quad \zeta = x + iz = r e^{i\theta}, \quad n \geq 1, \quad \dots \quad (3.8)$$

とかくと.

$$\tilde{\mathcal{L}} f_n = g \frac{\partial}{\partial x} \operatorname{Re} \left[\frac{1}{\zeta^n} - \frac{in}{g \zeta^{n+1}} \right],$$

となるから一度 x を分けて.

$$\left. \begin{aligned} \varphi_n(x, z) &= \operatorname{Re} \left[\frac{1}{5^n} - \frac{iz}{g 5^{n+1}} \right], \\ \psi_n(x, z) &= \operatorname{Re} \left[\log \left(\frac{5-1}{5+1} \right) + \frac{2i}{g(5^2-1)} \right], \end{aligned} \right\} \quad (3.9)$$

ではには

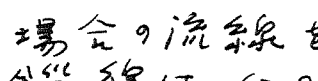
かはなし分布の全体である。

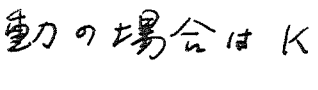
ii) 一様流中かなければ¹³⁾

$$\left. \begin{aligned} L = \bar{L} &= -\omega^2 + g \frac{\partial^2}{\partial z^2}, \quad \bar{L} = \bar{\bar{L}} = -\omega^2 - g \frac{\partial^2}{\partial \bar{z}^2}, \\ L \bar{L} &= (\omega^4 - g^2 \frac{\partial^2}{\partial z \partial \bar{z}}), \end{aligned} \right\} \quad (3.10)$$

であるから、2次元では $z = x + iz$ とおいて、上と同様にして。

$$\varphi_n = \operatorname{Re} \left\{ \frac{1}{5^n} - \frac{iz}{K 5^{n+1}} \right\}, \quad K = \frac{\omega^2}{g} = \frac{2\pi}{\lambda}, \quad (3.11)$$

(3.9), (3.10) の $n=1$ の場合の流線を  天て実験点線で示す。金縫線は (3.9) で φ_0 を含めた場合であるが、此の場合には (3.9) から判る様に水面に特異点がある^①ので、波はないとしてもモーメンタム・ロスを作らざる事になる。

さて此の様に上下動力の場合には K が大きいと極めて  である¹⁷⁾。

基の他の場合には簡単には求められないか φ_n をみて考えてみる。流れ面数値を考えれば、大抵の場合解かれうる筈である。

特に K が大きいと $\varphi_n \rightarrow \sin \frac{n\pi z}{\lambda}$ で上下対称のボテンシャルであるから此の時は一リングの邊は鏡像を考慮した物体の回転運動のボテンシャルで近似出来る。

一方此の問題で $K \rightarrow 0$ では (3.11) から判る様に $\varphi_n \rightarrow \cos n\theta / \lambda^n$ で上下対称なボテンシャルで近似出来る。¹⁸⁾

又此の極限で Ossell ははの振巾が消えず様な断面(水面上)を見出し¹³⁾、これは実験的にもある程度確認された¹⁴⁾。

此の種な波なし分布(準波なしと呼ぶ^{3.2})を系統的に見出すのは簡単ではない¹⁵⁾が、とにかくいくつもありそうで、しかもその中には割合簡単な形なものも含まれて¹⁶⁾いるのである。

逆に云えば 積分等式は波が大きい方がよ¹⁷⁾いから、やはり形状に注意しないといけないと云う事である。

4. 一様流れのない場合 (2次元)

簡単の為に2次元で考へるが此の節の結果を3次元に拡張するには3つと同じ道がある。

今垂直軸としてyを上向こうとすると式2のボリニ函数は

$$G(P, Q) = \log\left(\frac{r_1}{r_2}\right) - 2 \lim_{\mu \rightarrow 0} \int_0^\infty e^{K(y+y')} \frac{\cos K(x-x')}{x-K-\mu} dK, \quad \dots \quad (4.1)^{(17)}$$

ここで $P \equiv (x, y)$, $Q \equiv (x', y')$, $r_1 = \overline{PQ}$, $r_2 = \overline{PQ}$, $\overline{Q} \equiv (x', -y')$,

$K = \omega^2/g = 2\pi/\lambda$, λ は波長である。

また

$$\varphi(P) = \frac{1}{2\pi} \int_C \left\{ \frac{\partial \varphi}{\partial n} G(P, Q) - \varphi \frac{\partial}{\partial n} G(P, Q) \right\} ds_Q, \quad \dots \quad (4.2)^{(17)}$$

x が充分大きいと

$$G(P, Q) \xrightarrow{|x| \gg 1} -2\pi i e^{k(y+y') + iK(x-x')}, \quad \dots \quad (4.3)^{(18)}$$

であるが

$$\begin{aligned} \varphi(x, y) &\xrightarrow{x \gg 1} -2\pi i e^{ky+iKx} H^+(K), \\ &\xrightarrow{x \ll -1} -2\pi i e^{ky-iKx} H^-(K), \end{aligned} \quad \dots \quad (4.4)^{(19)}$$

また

$$H^\pm(K) = \frac{1}{2\pi} \int_C \left(\frac{\partial \varphi}{\partial n} - \varphi \frac{\partial}{\partial n} \right) e^{ky \mp iKx} ds, \quad \dots \quad (4.5)^{(19)}$$

一方では φ は波源とみなす分布の和で表わされるから、従つて

$$\varphi(x, y) = A G(x, y; 0, 0) + B \frac{\partial}{\partial x} G(x, y; 0, 0) + \sum_{n=1}^{\infty} A_n f_n(x, y), \quad \dots \quad (4.6)^{(13)}$$

此處 f_n は (3.11) のように定義される。

従つて (4.3), (4.4), (4.6) から

$$H^+(K) = A - iB, \quad H^-(K) = A + iB, \quad \dots \quad (4.7)$$

これを境界条件を考えよう。

i) 左右界面

ボテンシャル φ'_1 , 振幅 a_1 , $\varphi'_1 = i\omega a_1 e^{iwt} \varphi_1$,

$$C 上で \quad \frac{\partial \varphi'_1}{\partial n} = -i\omega a_1 e^{iwt} \frac{\partial \varphi_1}{\partial n}$$

また

$$\frac{\partial \varphi_1}{\partial n} = -\frac{\partial \varphi_1}{\partial x} = -\frac{\partial \varphi_1}{\partial x}, \quad \varphi_1 = -\varphi, \quad (4.8)$$

ii) 左右の

ホーテンニヤル φ_2' , 指向 a_2 , $\varphi_2' = i\omega a_2 e^{i\omega t} \varphi_2$,

$$\left. \begin{aligned} \frac{\partial \varphi_2}{\partial n} &= -\frac{\partial \varphi_2}{\partial x} = -\frac{\partial \varphi_2}{\partial n}, \\ \varphi_2 &= x \equiv x_1 \end{aligned} \right\} \quad \dots \quad (4.9)$$

iii) 横ゆれ

ホーテンニヤル φ_3' , 指向 a_3 , $\varphi_3' = i\omega a_3 e^{i\omega t} \varphi_3$,

$$\frac{\partial \varphi_3}{\partial n} = -\left(x \frac{\partial \varphi_3}{\partial n} - y \frac{\partial \varphi_3}{\partial n}\right), \quad \varphi_3 = -\frac{1}{2}(x^2 + y^2), \quad \dots \quad (4.10)$$

iv) 波の反射

$$\text{入射波} \quad \varphi_0' = \frac{g a_0}{\omega_0} e^{ky + ikx + i\omega t}$$

$$\varphi_0 = e^{ky + ikx}, \quad \dots \quad (4.11)$$

反射波

$$\varphi_4' = \frac{g a_0}{\omega_0} e^{i\omega t} \varphi_4$$

$$\left. \begin{aligned} \frac{\partial \varphi_4}{\partial n} &= -\frac{\partial \varphi_0}{\partial n} = -\frac{\partial}{\partial n}(e^{ky + ikx}), \\ \varphi_4 &= -\varphi_0 = i e^{ky + ikx} \end{aligned} \right\} \quad (4.12)$$

此處で φ_i の共轭函数, 即ち流れ函数を ψ_i とした。
 さて此等の境界条件は φ_i がすべて複素数であるから左
 実虚部の2つの条件を意味しているのであり, 上の式に定義
 すると虚部はすべて零という奇次の境界条件になると見てある。
 (4.6)から

$$\psi_i = A_i \tilde{G} + B_i \tilde{G}_X + \sum_{n=1}^{\infty} A_n^{(i)} \tilde{f}_n, \quad i=1 \sim 4, \quad \dots \quad (4.13)$$

左の \tilde{f}_n は流れ函数を意味するものとしよう。

$$\therefore A_i = \alpha_i e^{i\beta_i}, \quad B_i = \beta_i e^{i\beta_i}, \quad A_n^{(i)} = \alpha_n^{(i)} + i\beta_n^{(i)}, \quad \dots \quad (4.14)$$

$$\tilde{G} = \tilde{G}_C + i \tilde{G}_S, \quad \tilde{G}_X = \tilde{G}_C + i \tilde{G}_S, \quad \dots \quad (4.15)$$

と実虚部を分離すると (4.1) から見る

$$-\tilde{G}_S = -2\pi e^{ky} \cos kx, \quad \tilde{G}_S = -2\pi e^{ky} \sin kx, \quad \left. \right\} \quad (4.16)$$

$$\tilde{G}_S' = -2\pi k e^{ky} \sin kx, \quad \tilde{G}_S = 2\pi k e^{ky} \cos kx, \quad \left. \right\}$$

更に簡単の為に物体が左右対称であるとすると φ_1, φ_3
 は x 軸に垂直な反対称で $A_1^{(i)} = 0, A_{2+4}^{(i)} = 0$, φ_2 は x 軸に平行

∴ $B_i = 0, A_{2n}^{(i)} = 0$ となる。

(4.8) から (4.12) 迄の境界条件を $\psi_{i,12}$ にて書いて見ると。

$i=1,3$)

$$\begin{aligned} \beta_i \cos \delta_i \tilde{G}_c - \beta_i \sin \delta_i \tilde{G}_s + \sum_{n=1}^{\infty} \alpha_{2n}^{(i)} \tilde{f}_{2n} &= \begin{cases} -y, & \text{for } i=1, \\ -\frac{x^2+y^2}{2}, & \text{for } i=3, \end{cases} \\ \beta_i \cos \delta_i \tilde{G}_s + \beta_i \sin \delta_i \tilde{G}_c + \sum_{n=1}^{\infty} \beta_{2n}^{(i)} \tilde{f}_{2n} &= 0, \end{aligned} \quad \left. \right\} \quad (4.17)$$

$i=2$)

$$\begin{aligned} \alpha_2 \cos \varepsilon_2 \tilde{G}_c - \alpha_2 \sin \varepsilon_2 \tilde{G}_s + \sum_{n=0}^{\infty} \alpha_{2n+1}^{(2)} \tilde{f}_{2n+1} &= x, \\ \alpha_2 \cos \varepsilon_2 \tilde{G}_s + \alpha_2 \sin \varepsilon_2 \tilde{G}_c + \sum_{n=0}^{\infty} \beta_{2n+1}^{(2)} \tilde{f}_{2n+1} &= 0, \end{aligned} \quad \left. \right\} \quad \dots \quad (4.18)$$

$i=4$)

此の場合対称性から 4 組の方程式が得られる。

$$\begin{aligned} \alpha_4 \cos \varepsilon_4 \tilde{G}_c - \alpha_4 \sin \varepsilon_4 \tilde{G}_s + \sum_{n=0}^{\infty} \alpha_{2n+1}^{(4)} \tilde{f}_{2n+1} &= e^{-k_4} \sin kx, \\ \alpha_4 \cos \varepsilon_4 \tilde{G}_s + \alpha_4 \sin \varepsilon_4 \tilde{G}_c + \sum_{n=0}^{\infty} \beta_{2n+1}^{(4)} \tilde{f}_{2n+1} &= 0, \end{aligned} \quad \left. \right\} \quad (4.19)$$

$$\beta_4 \cos \delta_4 \tilde{G}_c - \beta_4 \sin \delta_4 \tilde{G}_s + \sum_{n=0}^{\infty} \alpha_{2n}^{(4)} \tilde{f}_{2n} = 0.$$

$$\beta_4 \cos \delta_4 \tilde{G}_s + \beta_4 \sin \delta_4 \tilde{G}_c + \sum_{n=0}^{\infty} \beta_{2n}^{(4)} \tilde{f}_{2n} = e^{k_4} \cos kx, \quad \left. \right\} \quad (4.20)$$

此等の聯立方程式の内右辺が 0 にならぬ式 12 つにて考えると G, f_n 等が互に一次独立とするとすべての係数が零となつて意味のない解しかえらぬ。事じたるから、解がえらばるとするならば、此等の函数の (4.12-19) 関係が存在する事を意味する。

即ち (4.17) の 2 式 ($i=1, 3$) は (4.12) 同じ式であると考へらねるので

$$\frac{\beta_1 \cos \delta_1}{\beta_3 \cos \delta_3} = \frac{\beta_1 \sin \delta_1}{\beta_3 \sin \delta_3} = \frac{\beta_{2n}^{(1)}}{\beta_{2n}^{(3)}}, \quad \text{よって } \delta_1 = \delta_3, \quad \dots \quad (4.21)$$

又 (4.19) の 2 式と (4.20) の 2 式、(4.18) の 2 式と (4.19) の 2 式は (4.16) を考へると、やはり同じ式と考えらねるから

$$\begin{aligned} \frac{\alpha_4 \cos \varepsilon_4}{\alpha_2 \cos \varepsilon_2} &= \frac{\alpha_4 \sin \varepsilon_4}{\alpha_2 \sin \varepsilon_2} = \frac{\beta_{2n+1}^{(4)}}{\beta_{2n+1}^{(2)}}, \quad \varepsilon_2 = \varepsilon_4 \\ \frac{\beta_4 \cos \delta_4 - \frac{1}{2\pi K}}{\beta_1 \cos \delta_1} &= \frac{\beta_4 \sin \delta_4}{\beta_1 \sin \delta_1} = \frac{\beta_{2n}^{(4)}}{\beta_{2n}^{(1)}}, \end{aligned} \quad \left. \right\} \quad (4.22)$$

更に (4.19), (4.20) の左 2 式と右 2 式も (4.16) を考へれば、夫々 (4.12) の方程式と考えらねるので、解く必要もなく。

$$\left. \begin{aligned} \frac{\alpha_4 \cos \delta_4}{\alpha_4 \sin \delta_4} &= \frac{-\alpha_4 \sin \delta_4 - \frac{1}{2\pi}}{\alpha_4 \cos \delta_4} = \frac{\alpha_{2n+1}^{(4)}}{\beta_{2n+1}^{(4)}}, \\ \frac{\beta_4 \cos \delta_4}{\beta_4 \sin \delta_4} &= \frac{-\beta_4 \sin \delta_4}{\beta_4 \cos \delta_4 - \frac{1}{2\pi K}} = \frac{\alpha_{2n}^{(4)}}{\beta_{2n}^{(4)}}, \end{aligned} \right\} \quad \dots \quad (4.23)$$

比等式から、まず φ_1, φ_2 の境界係数を判ければ φ_3 については、
他の系数だけ判れば (4.21) で各係数が決まってしまう。 φ_4 については (4.22) で ~~各~~^{この部} 線の境界係数の比が決まり、且つ (4.23) で i の
振り返すまでもある。

即ち、計算すれば、

$$\left. \begin{aligned} A_4 &= \alpha_4 e^{i\delta_4} = -\frac{\sin \delta_4}{2\pi} e^{i\delta_4}, \\ B_4 &= \beta_4 e^{i\delta_4} = -\frac{\sin \delta_2}{2\pi K} e^{i\delta_2}, \end{aligned} \right\} \quad \dots \quad (4.24)$$

結局のところ、今の場合には $i=1, 2$ については各 2 組、 $i=3, 4$ については
実部のみ 1 組、合計 5 組。聯立方程式を解けば、それで充分
である事となる。比を 3 次元問題と考えると源の選択等の点で
うまく成功した。

5. 物体に働く力 (2 次元一様流れ)

さて周期的なる力は (1.3) の形で与えられたから、無次元的
に考えて、 j 方向の φ_i による力を

$$\bar{F}_{ij} = \int_C \varphi_i \frac{\partial x_j}{\partial n} ds = - \int_C \varphi_i \frac{\partial \varphi_j}{\partial n} ds, \quad \dots \quad (5.1)$$

$$\bar{F}_{i,3} = \int_C \varphi_i (x \frac{\partial \varphi_4}{\partial n} - y \frac{\partial \varphi_3}{\partial n}) ds = - \int_C \varphi_i \frac{\partial \varphi_3}{\partial n} ds,$$

と定義ておく。($(4.8), (4.9), (4.10)$ の境界条件を使ってある。)
物体に働く強制力は、

$$E_i = + \int_C (\varphi_0 + \varphi_4) \left. \frac{\partial x_i}{\partial n} \right|_{x \frac{\partial \varphi_4}{\partial n} - y \frac{\partial \varphi_3}{\partial n}} ds = - \int_C (\varphi_0 + \varphi_4) \frac{\partial \varphi_i}{\partial n} ds, \quad \dots \quad (5.2)$$

と書ける。

今

$$\int_C \left(\varphi_i \frac{\partial \varphi_0}{\partial n} - \varphi_i \frac{\partial \varphi_4}{\partial n} \right) ds, \quad i=1 \sim 4$$

を 3 種分を物体表面 C と水表面 \bar{H} と無限遠の下半円上に
とると、 \bar{H} 上では水面条件で消え、下半円上では φ_i, φ_4 が零となる。

外側に出て行くはと考えらるるのではやはりある。⁴⁾

よって

$$\int_C \varphi_i \frac{\partial \bar{\varphi}_j}{\partial n} ds = \int_C \bar{\varphi}_j \frac{\partial \varphi_i}{\partial n} ds, \quad \dots \quad (5.3)$$

(5.1) を考へれば

$$F_{ij} = \bar{F}_{ji}, \quad \dots \quad (5.4)$$

此等の関係は計算で不確かからぬことはないであります。^{11) 12)}

次に (5.2) も 12つ目を考へるは $\varphi_0 + \varphi_4$ の境界値は (4.2) であるから、更に (4.4) を使って

$$\begin{aligned} E_i &= \int_C \left\{ \varphi_i \frac{\partial}{\partial n} (\varphi_0 + \varphi_4) - (\varphi_0 + \varphi_4) \frac{\partial \varphi_i}{\partial n} \right\} ds \\ &= -2\pi H_i(k) + \int_C \left\{ \varphi_i \frac{\partial \varphi_4}{\partial n} - \varphi_4 \frac{\partial \varphi_i}{\partial n} \right\} ds \end{aligned}$$

即ち (5.3) が得て.

$$E_i = -2\pi H_i(k) = -2\pi (A_i + iB_i), \quad \dots \quad (5.5)$$

此等が Haskind の関係である。⁴⁾ $= \int_C \left(\frac{\partial \varphi_i}{\partial n} - \varphi_i \frac{\partial}{\partial n} \right) e^{k(y+ikx)} ds,$

此の式は E_i が運動 i による波の入射すると同一の方向に進むものの振幅に比例する事を示してゐる。

又最左边第1項はフルード・クリロツフの力を示してあり、第2項は、これを運動 i によるダブルレットだけ補正すればよい事を示してゐる。

さて 次に

$$\int_C \left(\varphi_i \frac{\partial \bar{\varphi}_j}{\partial n} - \bar{\varphi}_j \frac{\partial \varphi_i}{\partial n} \right) ds,$$

右子午部分を考えよう。^{4) 16)}

今度は φ_i は外に出てゐるのを除く、 $\bar{\varphi}_j$ は内側に向かっている、いわば吸収するテニヤルであるから、無限大半円上の半周分は有限にならう。⁴⁾

(4.4) を代入して計算すると、

$$\int_C \left(\varphi_i \frac{\partial \bar{\varphi}_j}{\partial n} - \bar{\varphi}_j \frac{\partial \varphi_i}{\partial n} \right) ds = 2\pi^2 i \left[H_i^+ \bar{H}_j^+ + \bar{H}_i^+ H_j^+ + H_i^- \bar{H}_j^- + \bar{H}_i^- H_j^- \right], \quad \dots \quad (5.6)$$

此れは明らかに虚数値である。

~~又~~ 又 $j = 1, 2, 3$ では

$$\frac{\partial \bar{\varphi}_j}{\partial n} = \frac{\partial \varphi_j}{\partial n}$$

であるから

$$\bar{F}_{ij} = - \int_C \varphi_i \frac{\partial \varphi_j}{\partial n} ds = - \int_C \varphi_i \frac{\partial \varphi_j}{\partial n} ds + 2\pi^2 i \left[\sum H_i H_j \right],$$

解説

$$\oint \{ F_{ij} \} = 2\pi^2 \operatorname{Re} [H_i^+ \bar{H}_j^+ + H_i^- \bar{H}_j^-] = 4\pi^2 \operatorname{Re} (A_i \bar{A}_j + B_i \bar{B}_j), \quad \dots (5.7)$$

特例 $i=j$ の時は $\oint \{ F_{ii} \} = 4\pi^2 \operatorname{Re} [A_i \bar{A}_i + B_i \bar{B}_i], \quad \dots (5.8)$

である。^{4) 16)}

これはよく知られたダムピングが生成する角の自振り比(割合)であると言えます。それで、(5.5)と較べれば“判る事”とは(5.5)の絶対値の自振り比になります。⁴⁾

解説

$$\oint \{ F_{ii} \} = E_i \bar{E}_i, \quad \dots (5.9)$$

これは3次元では勿論一様には成立しないが、 $E_i \bar{E}_i$ を各方向に積分したものがダムピングに等しくなる事になる。⁴⁾

此の式から種々の面向の実験が考えられるであろう。

尚此處でダムピングと強制力との結びついたものから、3Dではダムピングは大きくなり、逆にからうかは少いと言つねばならない。

又ダムピングの極大振幅を考へる問題を考えるが此の場合は(4.5)式の絶対値の自振り比をとれば、積分方程式からうかるけれども此の方程式の核 e^{kx+ikx} は正則であるので極値は存在しない。換言すれば“ダムピング”はいくらでも大きく出来る事になる。

さて最後に従来の力は(5.1)等で C 上で積分して求めること。^{10) 11) 12)}

これは等角寫像が簡単に判る場合は便利であるが、形が圓弧的で考えられる場合(4.16)以下、の聯立方程式を直接取り扱うのが便利である。

3次元の時には $j=1, 2, 3$ です。

$$F_{ij} = \int_C \varphi_i \frac{\partial x_j}{\partial n} ds = \int_C x_j \frac{\partial \varphi_i}{\partial n} ds + \int_{C'} (\varphi_i \frac{\partial x_j}{\partial n} - x_j \frac{\partial \varphi_i}{\partial n}) ds,$$

これが C' を適当な曲線とすれば“簡単な計算(数値)”¹²⁾ で算出される。 $j=3$ のときはうまくない。

6. 一様流れのある場合(3次元)

この場合も §4, 5と同様な考察をすれば、面白結構が出てきてゐるが、これは大変面倒なことなので、(5.3), (5.5) (5.6)の拡張についてだけ考へる。

矢張運動 i によるポテンシャルを φ_i とい、 $\frac{\partial \varphi}{\partial n}$ が実数となる所にえらんでおく。

$i=1 \sim 6$ 、ここで、 \wedge は波の反射、 \circ は入射 i を意味するものとする。

矢状図⁵⁾を従つて φ の逆ポテンシャル φ^* を (2.6) を満足し、且つ

$$\frac{\partial \varphi}{\partial n} = \frac{\partial \varphi^*}{\partial n} = \frac{\partial \bar{\varphi}_i^*}{\partial n} = \frac{\partial \varphi_i^*}{\partial n}, \quad \dots (6.1)$$

のそれと定義する。

グリーン函数は (2.4) と全く同じで。

$$\begin{aligned} G^*(x, y, z; x', y', z') &= \frac{1}{r_1} - \frac{1}{r_2} - \frac{g}{\pi} \int_{-\pi/2}^{\pi/2} \int_0^\infty \frac{K e^{K(z+z')} + iK(\omega - \omega')}{(K\cos\theta + \omega - \mu_i)^2 - gK} dK d\theta, \\ &= \frac{1}{r_1} - \frac{1}{r_2} - \frac{g}{\pi} \int_{-\pi/2}^{\pi/2} \int_0^\infty \frac{K e^{K(z+z') - iK(\omega - \omega')}}{(K\cos\theta + \omega - \mu_i)^2 - gK} dK d\theta, \end{aligned} \quad \dots (6.2)$$

となるから (2.4) と一致して。

$$\begin{aligned} G^*(x, y, z; x', y', z') &= G(-x, -y, z; -x', -y', z') \\ &= G(-x, y, z; -x', y', z'), \end{aligned} \quad \dots (6.3)$$

である。

これから (2.9) と全く同じで。

$$\begin{aligned} \varphi^*(x, y, z) &= \frac{1}{4\pi} \iint_S \left\{ \frac{\partial \varphi^*}{\partial n} - \varphi^* \frac{\partial}{\partial n} \right\} G^*(x, y, z; x', y', z') ds. \\ &= \frac{1}{4\pi} \iint_S \left\{ \frac{\partial \varphi^*}{\partial n} - \varphi^* \frac{\partial}{\partial n} \right\} G(-x, y, z; -x', y', z') ds, \end{aligned} \quad \dots (6.4)$$

がえられる。

此の場合に φ^* は φ と丁度反対側 i にはを持つており、且つ (6.1) の条件を満たすから、最初の定義から考へて、全く一様流れの方向を逆 i にだけの違いであると考えられる。

従つて境界値が前後対称(今左右は対称として考へない)と非対称な部分は別けられるとすると
左 φ_i

$$\frac{\partial \varphi}{\partial n} = \left(\frac{\partial \varphi_s}{\partial n} \right)_s + \left(\frac{\partial \varphi_a}{\partial n} \right)_a.$$

φ_s も φ_a^* も 先に 3.4 で扱われて.

$$\varphi = \varphi_s + \varphi_a, \quad \varphi^* = \varphi_s^* + \varphi_a^*$$

即ち

$$\frac{\partial \varphi_s}{\partial n} = \left(\frac{\partial \varphi}{\partial n} \right)_s, \quad \frac{\partial \varphi_a}{\partial n} = \left(\frac{\partial \varphi}{\partial n} \right)_a.$$

こうすると 工の考 察⁵⁾から

$$\varphi_s^*(x, y, z) = \varphi_s(-x, y, z), \quad \varphi_a^*(x, y, z) = -\varphi_a(-x, y, z), \quad \dots (6.5)$$

従って今 も

$$\iint_{S+F+R} \left(\varphi_i \frac{\partial \varphi_j^*}{\partial n} - \varphi_j^* \frac{\partial \varphi_i}{\partial n} \right) ds$$

なる積分を考えると 前 図示の F, R 上の積分は消えて、⁵⁾ 結果の式と定理がなり立つ⁵⁾

即ち

$$\iint_S \left(\varphi_i \frac{\partial \varphi_j^*}{\partial n} - \varphi_j^* \frac{\partial \varphi_i}{\partial n} \right) ds = 0, \quad j, i \neq 0 \quad \dots (6.6)$$

前回示した通り 期力として

$$\bar{F}_{ij} = - \iint_S \varphi_i \frac{\partial \varphi_j^*}{\partial n} ds, \quad ij = 1 \sim 6, \quad \dots (6.7)$$

とおくと (6.1) を使って (6.6) から

$$\bar{F}_{ij} = - \iint_S \varphi_j^* \frac{\partial \varphi_i}{\partial n} ds, \quad \dots (6.8)$$

従って 境界条件の対称性を用いて (6.5) から

$$\bar{F}_{ij} = \pm \bar{F}_{ji}, \quad \dots (6.9)$$

が成立⁵⁾ か一般では.

$$\bar{F}_{ij} - \bar{F}_{ji} = \iint_S (\varphi_j - \varphi_j^*) \frac{\partial \varphi_i}{\partial n} ds, \quad \dots (6.10)$$

である。

然しそう (6.5) の関係があるから、元々 境界値問題を
とく時¹² 対称部分と非対称部分に分けて解ってお
けば 宜い。

次に 3.5 の 強制力については、

$$\varphi_0 = e^{K_0 z - i K_0 (x \cos \chi + y \sin \chi)} \\ \omega = K_0 (C - \cos \chi), \quad K_0 = g/c^2, \quad \cdots \quad (6.11)$$

といておけば $\frac{\partial \varphi_0}{\partial n}$ と ω は T^*_R に \perp 。

$$E_i = - \iint_S (\varphi_0 + \varphi_j) \frac{\partial \varphi_i}{\partial n} ds = \iint_S (\varphi_i^* \frac{\partial \varphi_0}{\partial n} - \varphi_0 \frac{\partial \varphi_i^*}{\partial n}) ds \\ + \iint_S (\frac{\partial \varphi_0}{\partial n} \varphi_i^* - \varphi_j \frac{\partial \varphi_i^*}{\partial n}) ds,$$

で、上の定理から此の第2項は消え、従って

$$E_i = \iint_S (\varphi_i^* \frac{\partial}{\partial n} - \frac{\partial \varphi_i^*}{\partial n}) e^{K_0 z - i K_0 (x \cos \chi + y \sin \chi)} ds, \quad \cdots \quad (6.12)$$

さて (6.2), (6.6) から φ^* を (2.12) の T^*_R に \perp と

$$\varphi^*(x, y, z) = \frac{1}{4\pi} \iint_S (\frac{\partial \varphi^*}{\partial n} - \varphi^* \frac{\partial}{\partial n} (\frac{1}{r})) ds - \frac{1}{\pi} \int_0^\pi \int_0^\infty \int_{-\infty}^\infty \frac{(K_0 \omega + \omega - \mu)^2 + \eta^2}{(K_0 \omega + \omega - \mu)^2 + \eta^2} H^*(K, \theta) e^{Kz - i K \omega} dK d\theta$$

--- (6.13)

$$H^*(K, \theta) = \frac{1}{4\pi} \iint_S (\frac{\partial \varphi^*}{\partial n} - \varphi^* \frac{\partial}{\partial n}) e^{Kz + i K \omega} ds, \quad \cdots \quad (6.14)$$

であるから (6.12) は

$$E_i = - 4\pi H_i^* \{ K_0(\chi), \chi \}, \quad \cdots \quad (6.15)$$

の形に書ける。

これが Haskind の定理の実験である。

範囲は (6.12) の右辺を行き端界を経て変形し
且つ $\varphi_i = \pm \varphi_i^*$ の両な場合のみ考えて

$$E_i^{(H)} = \iint_S P_i \frac{\partial}{\partial n} e^{K_0 z - i K_0 \bar{\omega}(\chi)} ds, \quad \cdots \quad (6.16)$$

を導く。⁵⁾

此處で P_i は運動 i による圧力である。

此の式を流れのない場合に適用して (5.5) と比較すると、フルード・クリコツフの力がぬけているから、此の式はその点で理解すべきなのである。

さて次に (5.6) の実験を考え方。

$$\iint_{S+T+R} (\varphi_i \frac{\partial \varphi_j}{\partial n} - \varphi_j \frac{\partial \varphi_i}{\partial n}) ds$$

を考えると、此の場合は F 上の積分は消えるが R 上の積分は残る。今これを ∇

$$\iint_S (\varphi_i \frac{\partial \bar{\varphi}_j}{\partial n} - \bar{\varphi}_j \frac{\partial \varphi_i}{\partial n}) dS = Q_{ij} = \iint_R (\varphi_i \frac{\partial \bar{\varphi}_j}{\partial r} - \bar{\varphi}_j \frac{\partial \varphi_i}{\partial r}) r d\varphi dr, \quad \dots \quad (6.17)$$

として計算出来る。

即ち無限遠方の波と見判れば計算出来る式であるが、面倒なので今この近の図にしておく。

然しおそは $i=j$ とおくと、これは明らかに散乱波の失うエネルギーであるから、前と全く相似な関係を持つ事になる。

結論

以上、~~ある~~ Haskind-花岡の波の強制力等の式、この式の説明を終えたい。

此等の公式は、今後の理論的、実験的研究の上で、重要な役割を演ずるであろう事は充分予想出来る。

然り一方では又此等の公式をよく理解するには、もう一度境界値問題を考えて見る必要がある程度である。

此の種な過程を経て、始めてストリップ法との比較も可能になり、又波浪中の諸問題、例えば“運動、抵抗増加等の極値問題（これは又次いで考え方次に確かに異なる事がある）、等にヒリカの事が出来るのではないか”。

以上。

参考文献

- 1) 造船協会 60周年記念双書 第2巻
- 2) " " " 6 "
- 3) " " " 8 "
- 4) J.N. Newman ; J.S.R. SNAME, vol. 6 No. 3 (1962)
- 5) 花岡達郎 ; 第9回応力連合講演会 (1959)
- 6) 丸尾孟 ; " "
- 7) G. Vossers ; I.S.P. vol. 7 (1960)
- 8) 福田謙一他 ; 造船論文集 110号 (1961)
- 9) " " " 111号 (1962)
- 10) 田村福造 ; " 105 (1959)
- 11) " " " 110 (1961)
- 12) 田村欣也 ; 三菱研究報告
- 13) F. Ursell ; Q.J.M.A.M. vol. 2 (1949)
- 14) W.C. McLeod + T. Hsieh ; Schiffstechnik Bd 10 (1963)
- 15) 別府正利 ; 防大歐文紀要 2巻2号 (1962)
- 16) " " ; 造船論文集 103号 (1958)
- 17) F. Ursell ; Q.J.M.A.M. vol. 7 (1954).

